

بررسی ژن pncA با استفاده از روش‌های PCR-RFLP و PCR-Specific-PCR افتراق مایکوباکتریوم بوویس از مایکوباکتریوم توبرکلوزیس

محمد رضا الله یار ترکمن^۱، دکتر فاطمه مریم شیخ‌الاسلامی^۲، دکتر پریسا فرنیا^۳،
دکتر محمد حسن شاه حسینی^۴، محدثه مظفری^۵، مهدی شمسی^۶، دکتر محمد رضا مسجدی^۷،
دکتر علی اکبر ولایتی^۸

خلاصه

مقدمه: مایکوباکتریوم بوویس به عنوان عامل سل مژمن گاوی به صورت موردي انسان را نیز درگیر می‌کند. یک موتاسیون منحصر به فرد در نقطه‌ی (G→C) ژن pncA در مایکوباکتریوم بوویس آن را از مایکوباکتریوم توبرکلوزیس متمایز می‌کند. استفاده از روش PCR-RFLP برای اولین بار در این تحقیق در جدا سازی این دو ارگانیسم مورد استفاده قرار گرفت.

روش‌ها: این مطالعه بر روی ۹۸ بیمار مبتلا به سل با بررسی میکروسکوپی، همراه با کشت و آنتیبیوگرام انجام شد. در قدم بعد، با استفاده از روش‌های PCR-RFLP و Allele-specific PCR تغییر نوکلئوتید ۱۶۹ ژن pncA مورد بررسی قرار گرفت و همچنین نتایج حاصل با Spoligotyping مقایسه شد.

یافته‌ها: از میان نمونه‌های مورد بررسی، با روش آنتیبیوگرام ۲۸ نمونه (۵۵/۱ درصد) مقاوم، ۵۴ نمونه (۲۸/۵۷ درصد) حساس به پیازینامید و ۱۶ نمونه (۱۶/۲۳ درصد) فاقد رشد بودند. از نمونه‌ی مقاوم، ۳ نمونه (۳/۱ درصد) با روش‌های کلاسیک مایکوباکتریوم بوویس تشخیص داده شدند. با روش‌های مولکولی از ۹۸ نمونه، ۹۵ نمونه (۹۶/۹۳ درصد) مایکوباکتریوم توبرکلوزیس و ۳ نمونه (۳/۰۶ درصد) مبوویس تشخیص داده شدند. مقایسه‌ی روش‌های PCR-RFLP و Allele-specific PCR با حساسیت و ویژگی ۱۰۰ درصد با نتایج Spoligotyping انطباق داشتند.

نتیجه‌گیری: نتایج این تحقیق نشان داد که فراوانی مایکوباکتریوم بوویس در جمیت ایرانی با فراوانی ۳/۱ درصد، بالاتر از میانگین موارد بررسی شده‌ی پیشین است (۵/۰ تا ۱ درصد). همچنین نشان داد که روش Allele-specific PCR به علت ارزان‌تر و سریع‌تر بودن روش انتخابی است و روش PCR-RFLP به منظور پیش‌گیری از عدم تطبیق‌های احتمالی در Allele-specific PCR می‌تواند جایگزین مناسبی باشد.

وازگان کلیدی: مایکوباکتریوم توبرکلوزیس، مایکوباکتریوم بوویس، pncA، PCR-RFLP، Allele-specific PCR

مقدمه
دانشگاه علوم پزشکی ارشد میکروبیولوژی، گروه زیست‌شناسی، دانشگاه آزاد اسلامی، واحد علوم و تحقیقات مایکوباکتریولوژی، دانشگاه علوم پزشکی اگرچه خصوصیات فنوتیپی متفاوتی در تست‌های بیوشیمیایی از خود نشان می‌دهند، اما همولوژی بالایی به لحاظ ژنتیکی دارند (۱-۲).

کمپلکس مایکوباکتریوم توبرکلوزیس (MTB) مجموعه‌ای از ارگانیزم‌های *M. africanum*, *M. tuberculosis*, *M. microti*, *M. caprae*, *M. bovis* BCG

^۱ دانشجوی کارشناسی ارشد میکروبیولوژی، گروه زیست‌شناسی، دانشگاه آزاد اسلامی، واحد علوم و تحقیقات مایکوباکتریولوژی، دانشگاه علوم پزشکی شهری شهید بهشتی، تهران، ایران.

^۲ مرکز تحقیقات مایکوباکتریولوژی، دانشگاه علوم پزشکی شهری شهید بهشتی، تهران، ایران.

^۳ دانشیار، گروه میکروبیولوژی پزشکی، مرکز تحقیقات مایکوباکتریولوژی، دانشگاه علوم پزشکی شهری شهید بهشتی، تهران، ایران.

^۴ دانشیار، گروه میکروبیولوژی، دانشگاه آزاد اسلامی واحد شهریار، تهران، ایران.

^۵ کارشناس ارشد، مرکز تحقیقات مایکوباکتریولوژی، دانشگاه علوم پزشکی شهری شهید بهشتی، تهران، ایران.

^۶ کارشناس، مرکز تحقیقات مایکوباکتریولوژی، دانشگاه علوم پزشکی شهری شهید بهشتی، تهران، ایران.

^۷ استاد، پژوهشکده سل و بیماری‌های ریوی، دانشگاه علوم پزشکی شهری شهید بهشتی، تهران، ایران.

^۸ نویسنده‌ی مسؤول: محمد رضا الله یار ترکمن

Email: mu.allahyar@gmail.com

باکتری جلوگیری می‌کند یکی از این مشکلات است. همچنین غلظت دارو هم بر حساسیت تست‌ها بی‌تأثیر نیست (۱۰). بنابراین استفاده از روش‌های بر پایه‌ی بررسی DNA باکتری در مقایسه با روش‌های کلاسیک کشت و آنتی‌بیوگرام قابل توجیه هستند.

پیش از این از ژن mtp40 (حاضر در مایکوباکتریوم توبرکلوزیس و غایب در مایکوباکتریوم بوویس) برای تفربیق این دو گونه استفاده می‌شد (۱۳)، ولی به تازگی معلوم شده است که این ژن در همه‌ی گونه‌های مایکوباکتریوم توبرکلوزیس وجود ندارد (۱۴، ۸). همچنین در مطالعه‌ای که توسط Weil و همکاران و با استفاده از توسط ژن mtp40 انجام شد، مواردی از مایکوباکتریوم افریکانوم که به طور اشتباه مایکوباکتریوم بوویس تشخیص داده شد (۱۵). بنابراین mtp40 این هدف نامناسب تشخیص داده شده است.

در حال حاضر از ژن‌های oxyR و pncA، که به ترتیب برای مایکوباکتریوم بوویس در نقاط ۲۸۵ و ۱۶۹ نسبت به مایکوباکتریوم توبرکلوزیس تغییر نوکلئوتیدی دارند، برای تمایز استفاده می‌شود (۱۶، ۱۲). ژن pncA مشتمل بر ۵۶۱ نوکلئوتید است که آنزیم PZAase با pncA ۱۸۶ اسید آمینه را کد می‌کند (۸). در ژن مایکوباکتریوم بوویس تغییر در نوکلئوتید ۱۶۹ (تبديل اسید آمینه ۵۷ اسید آسپارتیک به هیستیدین) سبب مقاومت ذاتی آن به پیرازینامید می‌شود (۱۰، ۱). از این خاصیت می‌توان در تشخیص مایکوباکتریوم بوویس و مایکوباکتریوم بوویس BCG از مایکوباکتریوم توبرکلوزیس استفاده کرد. ناگفته نماند، هر تغییری در اسید آمینه ۵۷ دلیل بر مایکوباکتریوم بوویس بودن ارگانیسم نیست؛ برای مثال تغییر در اسید نوکلئیک ۱۷۰ (۱۱) یا تغییر اسید آمینه ۵۷ به اسید آمینه‌ای به جز

افتراق اعضای MTB برای پیشبرد درمان موفق، به ویژه در مناطقی که بیماری به صورت اپیدمیک در می‌آید یا تماس انسان و حیوان زیاد است، ضروری می‌باشد (۳)؛ چرا که میزان مرگ و میر ناشی از مایکوباکتریوم بوویس بیشتر از مایکوباکتریوم توبرکلوزیس می‌باشد (۴).

تشخیص مایکوباکتریوم بوویس و مایکوباکتریوم بوویس BCG از دیگر اعضای MTB به دلیل مقاومت ذاتی (۵) آن‌ها به آنتی‌بیوتیک پیرازینامید از اهمیت راهبردی برخوردار است (۶، ۳). این در حالی است که مقاومت به پیرازینامید در مایکوباکتریوم‌های غیر MTB عمومیت ندارد (۷). پیرازینامید جزء داروهای خط اول مقابله با بیماری سل و توانا به کشتن باکتری‌های نیمه خفته و اغلب داخل سلولی است. این خصوصیات امکان کاهش زمان درمان از ۱۲ تا ۱۸ ماه به ۶ ماه را امکان‌پذیر می‌کند (۸).

نیکوتینامید به عنوان پیش دارو تحت تأثیر آنزیم پیرازینامیداز (PZAase) باکتریایی به داروی مؤثر پیرازینویک اسید (POA) تبدیل می‌شود (۹-۱۰). آنزیم پیرازینامیداز را ژن pncA کد می‌کند، غالباً موتاسیون‌ها در این ژن سبب از دست رفتن فعالیت آنزیم و در نتیجه مقاومت به دارو می‌شود (۱۱).

روش‌های کلاسیک تفربیق مایکوباکتریوم توبرکلوزیس و مایکوباکتریوم بوویس و تست‌های حساسیت به دارو بر پایه‌ی احیای نیترات، فعالیت آنزیم PZNase، تجمع نیاسین و رشد در محیط تیوفن ۲-کربوکسیلیک اسید هیدروزید استوار است (۱۲). حال آن که این روش‌ها مشکلاتی به همراه دارند. نیاز به زمان زیاد برای کشت و نیاز به محیط با pH پایین برای فعال شدن آنزیم که تا ۵۰ درصد از تشکیل کلنی

حل و به آن $\frac{3}{3}$ گرم مونو پتاسیم فسفات، $0/5$ گرم کازین هیدرولیز و $2/5$ میلی لیتر گلیسرول اضافه شد. 5 میلی لیتر OADC بعد از اتوکلاو و رسیدن به دمای 54°C درجهی سانتی گراد به محلول اضافه و به دو ظرف تقسیم شد (مطابق دستور شرکت سازندهی DIFCO). فلاکس اول حاوی $2/5$ میلی لیتر محلول پیروزینامید 100 میکرو گرم در میلی لیتر در 247 میلی لیتر از محلول $7\text{H}10\text{agar}$ و فلاکس دوم بدون آنتی بیوتیک تهیه شد. محلول ها در لوله های آزمایش تقسیم و بعد از تلقیح نمونه و گذشت 21 روز رشد یا عدم رشد پرگنه، تعیین کننده ی حساسیت باکتری به دارو بود (۱۹).

از روش CTAB به کار رفته توسط Miyata و همکاران جهت استخراج DNA استفاده شد (۲۰). بعد از غیر فعال کردن باکتری با دمای 80°C درجهی سانتی گراد و مدت 20 دقیقه، محلول رویی با سانتریفیوژ (45000 دور در دقیقه به مدت 10 دقیقه) جدا و با بافر (۱x) TE به حجم 10 میلی لیتر رسانیده شد. با سانتریفیوژ مجدد و اضافه کردن 100 میکرو لیتر آنزیم لیزوزیم و 450 میکرو لیتر بافر (۱x) TE به رسوب، در 37°C درجه به مدت 24 ساعت قرار گرفت. سپس به هر نمونه $72/5$ میکرو لیتر محلول 10 درصد SDS و پروتئیناز K اضافه و به مدت یک روز در دمای 65°C درجهی سانتی گراد قرار داده شد. به هر نمونه 100 میکرو لیتر NaCl با غلظت 5 مولار و 100 میکرو لیتر CTAB/NaCl اضافه و بعد از ورتكس در دمای 65°C درجهی سانتی گراد به مدت 10 دقیقه قرار داده شد. به هر میکرو تیوپ، 750 میکرو لیتر از مخلوط کلروفرم ایزوآمیل الکل اضافه و بعد از سانتریفیوژ به رسوب هر نمونه به ازای هر 1000 میکرو لیتر محلول 600

هیستیدین (۱۶) از این دسته هستند.

اولین بار Scorpio و همکاران پیشنهاد دادند که از موقعیت 169 ژن pncA با کمک روش PCR-SSCP (Polymerase chain reaction-Single-strand conformation polymorphism) در جداسازی مایکروباکتریوم بیوویس از مایکروباکتریوم توبرکلوزیس استفاده شود (۱۷، ۱۸). همکاران در اسپانیا با ادامهی همین نظر و طراحیAllele-specific PCR مشکلات PCR-SSCP، بر سرعت عمل تشخیص مایکروباکتریوم بیوویس افزودند (۱۲)؛ گرچه این روش هم خالی از اشکال نبود.

هدف از انجام پژوهش حاضر، مقایسهی PCR-RFLP و Allele-specific PCR (PCR-Restriction fragment length polymorphism) در رسیدن به روشهای قابل اعتمادتر و سریع تر در تشخیص مایکروباکتریوم بیوویس از سایر اعضای MTB و مقایسهی آنها با نتایج Spoligotyping به عنوان شاهد و مقایسهی با نتایج فنوتیپیک (آنٹی بیوگرام) برای بررسی ارتباط این جهش و مقاومت به دارو بود.

روش ها

محیط کشت انتخابی LJ (Lowenstein Jensen) برای جداسازی اولیهی سویه های مایکروباکتریوم استفاده شد و برای شناسایی سویه ها از تست های نیاسین و کاتالاز و احیای نیترات استفاده گردید (۱۸).

آنٹی بیوگرام توسط آزمون حساسیت باکتری به پیروزینامید با کمک محیط $7\text{H}10\text{agar}$ و با غلظت 100 میکرو گرم در میلی لیتر دارو انجام شد. $9/5$ گرم از محیط آمادهی آب مقدار 450 میلی گرم $7\text{H}10\text{agar}$ در 29 شماره / هفته اول آذر ۱۳۹۰ مجله دانشکده پزشکی اصفهان – سال

توبرکلوزیس و در مخلوطی دیگر ۱۵ پیکومول MT، ۱۵ پیکومول MB برای مایکروباکتریوم بوویس و ۱ واحد از آنزیم Taq شرکت سیناژن برای مخلوط نهایی ۲۵ میکرولیتر استفاده شد.

برنامه‌ی PCR هم به ترتیب ۱ سیکل ۹۵ درجه‌ی سانتی‌گراد برای ۱۰ دقیقه (Initial denaturation)، ۳۰ سیکل ۹۴ درجه (Denaturation)، ۶۴ درجه (Annealing) و ۷۲ درجه (Synthesis) هر کدام ۱ دقیقه و برای مرحله‌ی تکثیر نهایی ۱ سیکل ۷۲ درجه (Final synthesis) برای ۱۰ دقیقه دنبال شد. در انتها نتایج تکثیر PCR بر روی ژل آگارز ۱/۵ درصد با اندازه‌ی ۱۸۵ bp برای مایکروباکتریوم توبرکلوزیس یا مایکروباکتریوم بوویس قابل مشاهده بودند.

در روش PCR-RFLP در گام اول برای PCR از دو پرایمر pncA-F و pncA-R (جدول ۱) به ترتیب با غلظت‌های ۵ و ۸ پیکومول، ۰/۲ میلی‌مول ۵، dNTP pH، Tris-HCl، PCR-Buffer (۰/۲ میلی‌مول)، میکرولیتر میکروباکتریوم (۰ مول)، KCl، ۰/۱ مول (NH₄)₂SO₄ و ۱/۵ مول (MgCl₂)، ۰/۸ مول، ۰/۱ مول (MgCl₂) و ۱ واحد Taq شرکت سیناژن برای مخلوط نهایی ۵۰ میکرولیتر مورد استفاده قرار گرفت.

میکرولیتر ایزوپروپانول اضافه و ۲۴ ساعت در دمای ۲۰ درجه‌ی سانتی‌گراد قرار داده شد. سپس به رسوب، ۱۰۰۰ میکرولیتر الكل ۷۰ درصد افزوده و بعد از سانتریفیوژ، خشک کردن و افزودن ۳۰ میکرولیتر بافر TE (۱x) در ۳۷ درجه‌ی سانتی‌گراد به مدت ۳ تا ۴ ساعت، نمونه‌ها آماده‌ی اندازه‌گیری با دستگاه پیکو دراپ بودند (۲۰).

بعد از تأیید وجود DNA با اسپکتروفوتومتر و تعیین مقدار آن، تکثیر به روش‌های Allele-specific PCR مطابق با گزارش Espinosa de los Monteros و همکاران (۱۲) انجام شد و از پرایمرهای سه گانه‌ی MB و TB (جدول ۱)؛ به این صورت که به ترتیب پرایمر فوروارد مشترک، پرایمر با انتهای ۳'-G برای مایکروباکتریوم بوویس و پرایمر با انتهای ۳'-C برای مایکروباکتریوم توبرکلوزیس بودند استفاده و ترکیبات مخلوط PCR به صورت زیر فراهم گردید: ۲/۵ میلی‌مول ۰/۰۴ dNTP، ۰ میلی‌مول ۲ MgCl₂ pH، Tris-HCl (۰/۲ میلی‌مول)، ۰/۱ مول (NH₄)₂SO₄ و ۱/۵ مول (MgCl₂)، ۰/۸ مول KCl، ۰/۱ مول (NH₄)₂SO₄ و ۰/۱ مول DRa5'biotinylated پرایمر TB، ۵ پیکومول DRb پرایمر MT برای مایکروباکتریوم

جدول ۱. توالی پرایمرهای مورد استفاده در مطالعه‌ی حاضر در روش‌های PCR-RFLP، Allele-specific PCR

و Spoligotyping

| پرایمرها | توالی (۳'-۵') | روش |
|-------------------|-----------------------------|-----------------|
| TB | ۵'-ATGCGGGCGTTGATCATCGTC-۳' | Allele-specific |
| MB | ۵'-CGGTGTGCCGGAGAACGCCG-۳' | Allele-specific |
| MT | ۵'-CGGTGTGCCGGAGAACCGG-۳' | Allele-specific |
| pncA-F | ۵'-GGCGTCATGGACCTATATC-۳' | PCR-RFLP |
| pncA-R | ۵'-CAACAGTTCATCCCGGTT-۳' | PCR-RFLP |
| DRa5'biotinylated | ۵'-GGTTTGTTCTGACGAC-۳' | Spoligotyping |
| DRb | ۵'-CCGAGAGGGGACGGAAAC-۳' | Spoligotyping |

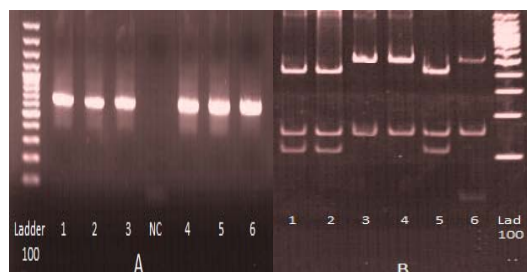
مایکوباکتریوم بوویس و ۹۵ نمونه مایکوباکتریوم توبرکلوزیس تشخیص داده شد. شکل ۱ گویای حضور یا عدم حضور باند ۱۸۵ bp جدا کننده‌ی دو گونه مایکوباکتریوم است.



شکل ۱. محصول ۳۲۰ bp در روش Allele-specific PCR: تهیه شده توسط پرایمرهای MT و TB و MB: تهیه شده توسط پرایمرهای TB و MB. H37Rv: مایکوباکتریوم توبرکلوزیس سویه‌ی استاندارد. Bov: مایکوباکتریوم بوویس.

شاهد منفی: ۱. NC با مخلوط A. ۲. Bov** با مخلوط A. ۳. Rv*: با مخلوط A. ۴. Rv با مخلوط B. ۵. A. ۶. Bov با مخلوط B. ۷. نمونه‌ی بیمار مبتلا به مایکوباکتریوم توبرکلوزیس به ترتیب با مخلوط A و B و ۶ و ۸ نمونه‌ی بیمار مبتلا به مایکوباکتریوم بوویس به ترتیب با مخلوط B و A

از طرف دیگر تکثیر ژن و هضم با آنزیم BstEII (شکل ۲) در روش PCR-RFLP با نتایج به دست آمده از روش Allele-specific با کمک آزمون χ^2 با حساسیت و ویژگی ۱۰۰ درصد مطابقت داشت.



شکل ۲. A: محصول PCR با کمک پرایمرهای pncA-F و pncA-R. B: هضم با آنزیم BstEII.

۱ و ۲: بیماران مبتلا به مایکوباکتریوم توبرکلوزیس. ۳ و ۴: بیماران مبتلا به مایکوباکتریوم بوویس. ۵: مایکوباکتریوم توبرکلوزیس سویه‌ی استاندارد H37Rv. ۶: مایکوباکتریوم بوویس.

برنامه‌ی PCR هم به ترتیب ۱ سیکل ۹۵ درجه Initial denaturation به مدت ۵ دقیقه، ۴۰ سیکل Denaturation هر یک به مدت ۳۰ ثانیه، ۹۵ درجه Annealing به مدت ۴۰ ثانیه، ۷۲ درجه Synthesis به مدت ۱ دقیقه و ۱ سیکل انتها ی ۷۲ درجه برای Final synthesis ادامه پیدا کرد (۵). بعد از مشاهده‌ی باند ۶۷۰ bp روی ژل آگارز ۱/۵ درصد در گام بعدی هضم با آنزیم محدود کننده‌ی BstEII برای اولین بار در این تحقیق بر مبنای برش آنزیمی در ناحیه‌ی پالیندرومی ۵'G↓GTNACC3' جهت تعیین موتاسیون در نقطه‌ی ۱۶۹ pncA مورد استفاده قرار گرفت. مشاهده باندهای ۱۳۶ bp، ۴۲۳ bp و ۱۰۳ bp برای توبرکلوزیس و ۵۲۶ bp و ۱۴۶ bp برای M.Boovیس روی ژل پلی آکریل آمید ۸ درصد در مرحله‌ی آخر وجه تفاوت مایکوباکتریوم بوویس و مایکوباکتریوم توبرکلوزیس است.

یافته‌ها

از میان ۹۸ نمونه‌ی جمع‌آوری شده از بیماران مراجعه کننده به مرکز تحقیقات مایکوباکتریولوژی پژوهشکده‌ی سل و بیماری‌های ریوی بیمارستان مسیح دانشوری تهران، بعد از تشخیص میکروسکوپی وجود باسیل سل، کشت و آنتی‌بیوگرام نمونه‌ها در محیط حاوی پیرازینامید، ۲۸ نمونه (۲۸/۵۷ درصد) به دارو مقاوم، ۵۴ نمونه (۵۵/۱ درصد) حساس و ۱۶ نمونه (۱۶/۲۳ درصد) بدون رشد (نه در لوله‌ی نمونه و نه در لوله‌ی شاهد) بود.

از تعداد ۹۸ نمونه، بعد از استخراج DNA به روش CTAB، با کمک روش Allele-specific CTAB ۳ نمونه

جدول ۲. نتایج روش‌های PCR-RFLP و آنتی‌بیوگرام

| PCR- RFLP | Allel-specific | Spoligotyping | Antibiogram | مايكوباكتريوم بوويس |
|-----------|----------------|---------------|---|---|
| ۳/۱ | ۳/۱ | ۳/۱ | R (۲) | مايكوباكتريوم بوويس |
| ۹۶/۹ | ۹۶/۹ | ۹۶/۹ | S (۱) R (۲۶) S (۵۵/۱) N (۱۵/۶) | مايكوباكتريوم توبرکلوزیس بدون رشد |

R: مقاومت دارویی، S: حساسیت به دارو، N: بدون رشد

امکان‌پذیر نمی‌باشد. از این رو در تشخیص و افتراق سویه‌های مایکوباکتریوم، به ویژه مایکوباکتریوم بوویس (تحقیق حاضر)، به روش‌های سریع‌تر و ارزان‌تری اتکا شده است که allele-specific ارائه شده توسط PCR-RFLP در این تحقیق از آن جمله است.

بر اساس مقایسه‌ی نتایج، دو روش مذکور قادر به شناسایی مایکوباکتریوم بوویس از مایکوباکتریوم توبرکلوزیس هستند، اما نمی‌توانند مایکوباکتریوم بوویس را از مایکوباکتریوم بوویس BCG جدا نمایند. با این حال در نوزادان با عالیم بالینی بعد از واکسیناسیون BCG یا در افراد مشکوک به سل گاوی در تماس نزدیک با حیوانات می‌توانند مفید فایده باشند؛ به خصوص که بر اساس تحلیل Fingerprinting انجام شده در تحقیق Majoor و همکاران (۴) ما بین سال‌های ۱۹۹۳ تا ۲۰۰۷ انتقال مایکوباکتریوم بوویس از انسان به انسان نادر بوده است.

با وجود مشاهده نشدن تفاوت معنی دار در نتیجه‌ی هر کدام از تکنیک‌های یاد شده، مواردی وجود دارند که این روش‌ها را از هم‌دیگر متمایز و بسته به تشخیص محقق ارجح می‌کنند. روش allele-specific PCR-RFLP با احتساب مراحل بعد از PCR و هضم آنزیمی طولانی‌تر خواهد بود. همچنین allele-specific روشی ارزان‌تر و

با این حال از جمله موارد اختلاف دو روش مقدار DNA مورد نیاز برای هر کدام از روش‌ها بود. DNA به مقدار حداقل ۳۵ نانوگرم برای روش PCR-RFLP و حداقل ۱۵۰ نانوگرم برای روش allele-specific مورد نیاز است تا تکثیر مطلوب صورت پذیرد. لازم به ذکر است مقادیر زیاد DNA در روش allele-specific در شده توسط Espinosa de los Monteros و همکاران به دلیل احتمال بالای Mismatch به راحتی سبب ظهور باندهای غیر اختصاصی می‌شود (۱۲)، در حالی که مقادیر بالای DNA حتی تا ۲۵۰ نانوگرم هم در روش RFLP ارائه شده در این تحقیق، باندهای غیر اختصاصی به دنبال ندارد. به جهت کترل یافته‌های به دست آمده از روش‌های یاد شده وجود مایکوباکتریوم بوویس توسط Spoligotyping تأیید شد و در جدول ۲ نشان داده شده است. نبود ۵ فاصله انداز آخر در روش Spoligotyping نشان دهنده‌ی مایکوباکتریوم بوویس است. در این پژوهه نتایج حاصل از PCR-RFLP و allele-specific با نتایج حاصل از Spoligotyping همخوانی کامل داشت.

بحث

اگرچه روش‌های Spoligotyping و Sequencing در تشخیص گونه و سویه‌ی مایکوباکتریوم از دقت بالایی برخوردار هستند، اما دسترسی آن‌ها برای همه‌ی آزمایشگاه‌ها به دلیل نیاز به زمان و هزینه‌ی بالا

مایکوباکتریوم توبرکلوزیس هستند که به همراه الگوی Spoligotyping Bov (مایکوباکتریوم بوویس) با نتایج دو روش مذکور منطبق بود.

با توجه به این که اغلب هر جهشی در ژن pncA سبب مقاومت می‌شود و نقطه‌ی ۱۶۹ نیز از این قاعده مشتمل نیست، مایکوباکتریوم بوویس که در این نقطه تغییر C به G را نشان می‌دهد، باید به پیرازینامید مقاوم باشد؛ در عمل در آزمون آنتی‌بیوگرام هم همین گونه بود؛ بر عکس مایکوباکتریوم توبرکلوزیس که بدون تغییر در نقطه‌ی ۱۶۹ به این دارو حساس است.

همان طور که در جدول ۲ نشان داده شده است، همه‌ی نمونه‌هایی که با روش‌های Allele-specific و RFLP مایکوباکتریوم بوویس تشخیص داده شده‌اند، با آنتی‌بیوگرام هم مقاوم به پیرازینامید بودند. این نتیجه از فرضیه‌ی Scorpio و همکاران (۵) مبنی بر ارتباط این نقطه و مقاومت ذاتی مایکوباکتریوم بوویس به پیرازینامید دفاع می‌کند.

در مجموع این دو روش به عنوان کاندیدهای افتراق مایکوباکتریوم بوویس از مایکوباکتریوم توبرکلوزیس مطرح بوده است و به پژوهشکار در شناسایی مایکوباکتریوم بوویس و عدم تجویز داروی استراتژیک پیرازینامید در این بیماران کمک می‌کند.

تشکر و قدردانی

این مقاله حاصل پایان‌نامه‌ی کارشناسی ارشد دانشگاه آزاد اسلامی واحد علوم و تحقیقات تهران به شماره‌ی ۸۸۰۸۴۸۶۶۴ است. نویسنده‌گان از مرکز تحقیقات مایکوباکتریولوژی، پژوهشکارهای سل و بیماری‌های ریوی و کارکنان محترم به جهت پشتیبانی در اجرای این طرح پژوهشی کمال امتنان را دارند.

آسان‌تر در تشخیص است؛ چرا که برای مشاهده و تحلیل نتایج آن فقط به ژل آگارز نیاز دارد (۱۲).

عیب این روش دقت کمتر به دلیل احتمال عدم تطبیق (Mismatch) بالا است. با وجود یک نوکلئوتید متغیر در انتهای^۳ پرایمر ریورس احتمال خطأ وجود خواهد داشت؛ گو این که در عمل در صورت تنظیم نبودن مقدار DNA باند‌های غیر اختصاصی زیادی وجود خواهد داشت (۱۲).

از طرف دیگر، میزان شیوع مایکوباکتریوم بوویس در جمعیت انسانی مبتلا به سل در کشورهای مختلف متفاوت است. برای مثال در مطالعه‌ی de Kantor و همکاران (۲۵)، از ۱۰ کشور آمریکای جنوبی بین سال‌های ۱۹۷۰ تا ۲۰۰۷ این عدد از ۱/۴۳ درصد متغیر بود، در حالی که در تحقیقی در هلند ۱/۴ درصد (۴) و در مجموعه‌ای از چند کشور اروپای شرقی به صورت میانگین ۰/۲۱ درصد گزارش شد (۲۶). در این تحقیق این رقم تا ۳/۱ درصد به دست آمد. با توجه به این که انتقال از انسان به انسان برای مایکوباکتریوم بوویس به ندرت اتفاق می‌افتد، بنابراین ممکن است این عدد ناشی از انتقال حیوان به انسان بوده باشد. ناگفته نماند، موردی از انتقال انسان به انسان (انتقال از یک پسر ۵ ساله به خواهر ۱ ساله اش با آیروسل) توسط ولایتی و همکاران، مطلق بودن انتقال سل گاوی تنها از حیوان به انسان را رد می‌کند (۲۷).

آن‌چه در روش Spoligotyping به دست آمد به دلیل دقت و حساسیت بالای این روش (۲۱)، به عنوان شاهد در نظر گرفته شد و با مقایسه‌ی نتایج Spoligotyping و PCR-RFLP با Allele-specific چه تحت عنوان CAS، Beijing، Haarlem و T family دسته‌بندی می‌شوند، سویه‌های X family

References

1. Somoskovi A, Dormandy J, Parsons LM, Kaswa M, Goh KS, Rastogi N, et al. Sequencing of the pncA gene in members of the Mycobacterium tuberculosis complex has important diagnostic applications: Identification of a species-specific pncA mutation in "Mycobacterium canettii" and the reliable and rapid predictor of pyrazinamide resistance. *J Clin Microbiol* 2007; 45(2): 595-9.
2. Mostowy S, Cousins D, Behr MA. Genomic interrogation of the dassie bacillus reveals it as a unique RD1 mutant within the Mycobacterium tuberculosis complex. *J Bacteriol* 2004; 186(1): 104-9.
3. Barouni AS, Augusto CJ, Lopes MT, Zanini MS, Salas CE. A pncA polymorphism to differentiate between *Mycobacterium bovis* and *Mycobacterium tuberculosis*. *Mol Cell Probes* 2004; 18(3): 167-70.
4. Majoor CJ, Magis-Escurra C, van IJ, Boeree MJ, van SD. Epidemiology of *Mycobacterium bovis* disease in humans, The Netherlands, 1993-2007. *Emerg Infect Dis* 2011; 17(3): 457-63.
5. Scorpio A, Lindholm-Levy P, Heifets L, Gilman R, Siddiqi S, Cynamon M, et al. Characterization of pncA mutations in pyrazinamide-resistant *Mycobacterium tuberculosis*. *Antimicrob Agents Chemother* 1997; 41(3): 540-3.
6. Jureen P, Wengren J, Toro JC, Hoffner S. Pyrazinamide resistance and pncA gene mutations in *Mycobacterium tuberculosis*. *Antimicrob Agents Chemother* 2008; 52(5): 1852-4.
7. Sun Z, Scorpio A, Zhang Y. The pncA gene from naturally pyrazinamide-resistant *Mycobacterium avium* encodes pyrazinamidase and confers pyrazinamide susceptibility to resistant *M. tuberculosis* complex organisms. *Microbiology* 1997; 143(Pt 10): 3367-73.
8. Lee KW, Lee JM, Jung KS. Characterization of pncA mutations of pyrazinamide-resistant *Mycobacterium tuberculosis* in Korea. *J Korean Med Sci* 2001; 16(5): 537-43.
9. Sekiguchi J, Nakamura T, Miyoshi-Akiyama T, Kirikae F, Kobayashi I, Augustynowicz-Kopeć E, et al. Development and evaluation of a line probe assay for rapid identification of pncA mutations in pyrazinamide-resistant mycobacterium tuberculosis strains. *J Clin Microbiol* 2007; 45(9): 2802-7.
10. Shenai S, Rodrigues C, Sadani M, Sukhadia N, Mehta A. Comparison of phenotypic and genotypic methods for pyrazinamide susceptibility testing. *Indian J Tuberc* 2009; 56(2): 82-90.
11. Barco P, Cardoso RF, Hirata RD, Leite CQ, Pandolfi JR, Sato DN, et al. pncA mutations in pyrazinamide-resistant *Mycobacterium tuberculosis* clinical isolates from the southeast region of Brazil. *J Antimicrob Chemother* 2006; 58(5): 930-5.
12. Espinosa de los Monteros LE, Galan JC, Gutierrez M, Samper S, Garcia Marin JF, Martin C, et al. Allele-specific PCR method based on pncA and oxyR sequences for distinguishing *Mycobacterium bovis* from *Mycobacterium tuberculosis*: intraspecific *M. bovis* pncA sequence polymorphism. *J Clin Microbiol* 1998; 36(1): 239-42.
13. Taylor GM, Goyal M, Legge AJ, Shaw RJ, Young D. Genotypic analysis of *Mycobacterium tuberculosis* from medieval human remains. *Microbiology* 1999; 145(Pt 4): 899-904.
14. Herrera EA, Segovia M. Evaluation of mtp40 genomic fragment amplification for specific detection of *Mycobacterium tuberculosis* in clinical specimens. *J Clin Microbiol* 1996; 34(5): 1108-13.
15. Weil A, Plikaytis BB, Butler WR, Woodley CL, Shinnick TM. The mtp40 gene is not present in all strains of *Mycobacterium tuberculosis*. *J Clin Microbiol* 1996; 34(9): 2309-11.
16. Yuksel P, Tansel O. Characterization of pncA mutations of pyrazinamide-resistant *Mycobacterium tuberculosis* in Turkey. *New Microbiol* 2009; 32(2): 153-8.
17. Scorpio A, Collins D, Whipple D, Cave D, Bates J, Zhang Y. Rapid differentiation of bovine and human tubercle bacilli based on a characteristic mutation in the bovine pyrazinamidase gene. *J Clin Microbiol* 1997; 35(1): 106-10.
18. Amirmozafari N, Ramezanadeh R, Farnia P, Ghazi F. The Frequency of Beijing Genotype of *Mycobacterium Tuberculosis* Isolated from Tuberculosis Patients. *rjms* 2006; 13(52): 7-17.
19. Farnia P, Varahram M, Doraghi M, et al. Drug Susceptibility Test Against *Mycobacterium Tuberculosis*. Tehran: Mycobacteriology Research Center (MRC), National Research Institute of Tuberculosis and Lung Disease (NRITLD); 2007.
20. Miyata M, Barreto Santos AC, Mendes NH, Cunha EA, Melo FA, Leite CQ. Assessment of the quality of dna extracted by two techniques from *Mycobacterium tuberculosis* for fast molecular identification and genotyping. *Braz J Microbiol* 2011; 42(2): 774-7.
21. Kamerbeek J, Schouls L, Kolk A, van AM, van SD, Kuijper S, et al. Simultaneous detection and strain differentiation of *Mycobacterium tuberculosis* for diagnosis and epidemiology. *J Clin Microbiol* 1997; 35(4): 907-14.
22. Kazempour M, Masjedi MR, Velayati AA, Tajeddin E, Farnia P, Kargar M, et al. Identification of *mycobacterium tuberculosis*

- beijing genotype using three different molecular methods. Koomesh 2009; 11(1): 7-14.
- 23.** Velayati AA, Farnia P, Mirsaeidi M, Reza MM. The most prevalent *Mycobacterium tuberculosis* superfamilies among Iranian and Afghan TB cases. Scand J Infect Dis 2006; 38(6-7): 463-8.
- 24.** Rohani M, Farnia P, Nasab MN, Moniri R, Torfeh M, Amiri MM. Beijing genotype and other predominant *Mycobacterium tuberculosis* spoligotypes observed in Mashhad city, Iran. Indian J Med Microbiol 2009; 27(4): 306-10.
- 25.** de Kantor IN, Ambroggi M, Poggi S, Morcillo N, Da Silva Telles MA, Osorio RM, et al. Human *Mycobacterium bovis* infection in ten Latin American countries. Tuberculosis (Edinb) 2008; 88(4): 358-65.
- 26.** Pavlik I, Yayo Ayele W, Havelkova M, Svejnochova M, Katalinic-Jankovi V. *Mycobacterium bovis* in human population in four Central European countries during 1990-1999. Vet Med - Czech 2003; 48(4): 90-8.
- 27.** Velayati AA, Farnia P, Boloorsaze MR, Sheikholeslami MF, Khalilzadeh S, Hakeeme SS, et al. *Mycobacterium bovis* infection in children in the same family: transmission through inhalation. Monaldi Arch Chest Dis 2007; 67(3): 169-72.

The Study of PncA Gene Using PCR-RFLP and Allele-Specific PCR Methods in Distinguishing Mycobacterium Bovis from Mycobacterium Tuberculosis

Mohammad Reza Allahyar Torkaman¹, Fatemeh Maryam Sheikholeslami PhD², Parisa Farnia PhD³, Mohammad Hassan Shahhosseiny PhD⁴, Mohadeseh Mozafari MSc², Mehdi Shamsi², Mohammad Reza Masjedi MD⁵, Ali Akbar Velayati MD⁵

Abstract

Background: Bovine tuberculosis is a chronic bacterial disease of cattle that occasionally affects human. A unique mutation at position 169 (C→G) in *Mycobacterium bovis* differentiates it from *Mycobacterium tuberculosis*. For the first time, PCR-RFLP method was used in this study to separate the two organisms.

Methods: In this study, 98 tuberculosis patients were assessed using microscopic evaluations, culture and antibiogram. Then, nucleotide changes in position 169 were investigated using Allele-specific PCR and PCR-RFLP methods. Finally, the results were compared with spoligotyping results .

Findings: Antibiotogram revealed 28 subjects (28.57%) to be resistant and 54 (55.1%) to be sensitive to pyrazinamide while and 16 cases (16.23%) showed no growth. Of 28 resistant patients, 3 (3.1%) were diagnosed with *M. bovis* using the classical methods. Using molecular methods, 95 (96.93%) out of 98 subjects were diagnosed with *M. tuberculosis* and 3 (3.06%) with *M. bovis*. Allele-specific PCR and PCR-RFLP matched with spoligotyping results.

Conclusion: Our result showed the incidence of *M. bovis* infection to be higher in Iranian population (3.1%) than other studied cases (0.5-1%). In addition, we showed that Allele-specific PCR is the method of choice because it is faster and cheaper than PCR-RFLP. However, PCR-RFLP could be a proper alternative to prevent probable mismatches in Allele-specific PCR.

Keywords: *Mycobacterium tuberculosis*, *Mycobacterium bovis*, Allele-specific PCR, PCR-RFLP, PncA.

¹ Department of Biology, Sciences and Research Branch, Islamic Azad University and Mycobacteriology Research Center, Shahid Beheshti University of Medical Sciences, Tehran, Iran.

² Mycobacteriology Research Center, Shahid Beheshti University of Medical Sciences, Tehran, Iran.

³ Associate Professor, Mycobacteriology Research Center, Shahid Beheshti University of Medical Sciences, Tehran, Iran.

⁴ Associate Professor, Department of Microbiology; Shahryar Branch; Islamic Azad University, Tehran, Iran.

⁵ Professor, National Research Institute of Tuberculosis and Lung Disease (NRITLD), Shahid Beheshti University of Medical Sciences, Tehran, Iran.

Corresponding Author: Mohammad Reza Allahyar Torkaman, Email: mu.allahyar@gmail.com